

Условия существования петель скрытой обратной связи в рекомендательных системах с учётом шума

А. А. Пилькевич¹, А. С. Хританков²
anton39reg@mail.ru; anton.khritankov@phystech.edu

В работе исследуются петли скрытой обратной связи в рекомендательных системах. Под положительной обратной связью подразумевается неограниченный рост интереса пользователя к предлагаемым объектам. Решается задача поиска условий возникновения положительной обратной связи. Учитывается наличие шума в выборе пользователя. Рекомендательная система использует алгоритм Thomson Sampling Multi-armed Bandit. В задачах без шума известно, что существуют условия неограниченного роста. Но отсутствие шума не реализуется в реальных системах. Экспериментально проверяются полученные условия в имитационной модели.

The paper explores hidden feedback loops in recommender systems. A positive feedback loop is an unlimited growth of user interest in proposed objects. The paper looks for conditions for positive feedback loops. The paper takes into account a noise in user responses. The recommender system uses Thompson Sampling Multi-armed Bandit algorithm. In noise-free problems other works improved that conditions for unlimited growth exist. But noise-free is not true in a practice. The paper carries out simulation experiments to check found conditions.

Ключевые слова: *machine learning, hidden feedback loops, filter bubble, thompson sampling*

DOI:

1 Введение

Рекомендательные системы являются важной составляющей социальных сетей, веб-поиска и других сфер [5,6,7,8,9]. Рассматриваются петли скрытой обратной связи, которые подразумевает рост качества предсказаний, как результат учёта принятых решений. Эффект петель скрытой обратной связи в реальных и модельных задачах в публикациях [7,8,9] описывается как нежелательное явление. Частные и часто рассматриваемые случаи скрытой обратной являются echo chamber и filter bubbles [1,9]. До сих пор нет строгой формализации условий возникновения этих эффектов при условиях приближенных к реальности [1,2,5,6].

Целью данной работы является нахождение условий существования петель обратной связи в рекомендательной системе с алгоритмом Thomson Sampling в условиях зашумлённости выбора пользователя. Зашумлённость выбора рассматривается, как смещение первоначального интереса к исходному объекту или категории. Предлагается способ отыскание условий модели исходя из теоретических свойств алгоритма TS. Под условиями подразумеваются параметры шума и параметры рекомендательной системы. Для описания условий предлагается выражение для математического ожидания интереса. Также рассматривается вариант нахождения этих условий чисто из экспериментов. Целью является математическое описание искомых условий с дальнейшим экспериментальным подтверждением полученных условий. Для проверки результатов используется имитационная модель, использующая синтетические данные.

Ранее проблема изучалась с другой стороны - как преодолеть смещение распределения входных данных и сделать алгоритм лучше [5,6]. В этой работе важны изменения,

которые работа алгоритма привносит в данные. Важно, что источник изменений - сам алгоритм

Существует ранее описанная модель [1] петель в случае отсутствия шума в действиях пользователя. Подобное исследование проводилось в статье [1] на примере различных моделей (Oracle, Optimal Oracle, UCB, TS) в задаче многорукого бандита. Удалось показать условия существования неограниченного роста интереса пользователя. В работе [2] изучалась схожая постановка задачи и были получены условия возникновения, но рассматривалась линейная модель и градиентный бустинг. Но отсутствие шума в ответах пользователей в работах [1,2] не реализуется на практике. Важным отличием данной работы является факт рассмотрения более сложных условий модели, таких как шум в выборе пользователя и другой алгоритм рекомендательной системы.

В работе предлагается анализ роста интереса пользователя. Рассматривается математическое ожидание изменения интереса. Полученные условия проверяются в вычислительном эксперименте.

2 Петли скрытой обратной связи

Целью работы является теоретический анализ условий сходимости TS для различных параметров шума и экспериментальное подтверждение полученных соотношений. Также делается уточнение условий из [1].

2.1 Модель рекомендательной системы

Обозначим за t очередной момент выдачи рекомендаций. Рекомендательная система на шаге t выбирает элементы (a_t^1, \dots, a_t^l) из конечного набора M . Истинный *интерес* пользователя к элементу $a \in M$ описывается неизвестным отображением $\mu_t : M \rightarrow \mathbb{R}$. При этом считается, что чем больше значение $\mu_t(a)$, тем заинтересованнее пользователь в рекомендации a .

После очередного набора рекомендаций $a_t = (a_t^1, \dots, a_t^l)$ пользователь возвращает *отклик* $c_t = (c_t^1, \dots, c_t^l)$, $c_t^i \in \{0, 1\}$. Предполагается, он выбирает элементы c_t^i случайно и независимо, пропорционально $\mu_t(a)$. Значит отклик имеет распределение Бернулли :

$$c_t^i \sim \text{Bern}(\sigma(\mu_t(a_t^i))), \text{ где } \sigma(x) = \frac{1}{1 + e^x} - \text{сигмоида}.$$

Предполагаем, что интерес пользователя во времени описывается как

$$\begin{cases} \mu_{t+1} \geq \mu_t, & \text{если } c_t = 1, \\ \mu_{t+1} < \mu_t, & \text{если } c_t = 0, \\ \mu_{t+1} = \mu_t, & \text{если элемент не попал в рекомендацию.} \end{cases}$$

Тогда петля обратной связи выражается как

$$\lim_{t \rightarrow \infty} \|\mu_t - \mu_0\|_2 = \infty. \quad (1)$$

Обновление интереса для элементов очередной рекомендации происходит по правилу:

$$\mu_{t+1} - \mu_t = \delta_t c_t - \delta_t (1 - c_t), \text{ где } \delta_t \sim U[0, 0.01]. \quad (2)$$

Оптимизационной задачей рекомендательной системы является задача минимизации потерь. Максимальная сумма наград :

$$\max_{c_t^i} \sum_{t=1}^T \sum_{i=1}^l c_t^i = T \cdot l.$$

Тогда задача ставится так :

$$T \cdot l - \sum_{t=1}^T \sum_{i=1}^l c_t^i \rightarrow \min_b,$$

где b — используемый алгоритм в рекомендательной системе.

2.2 Алгоритм рекомендательной системы

Задача многорукого бандита состоит из k бандитов и системы взаимодействующей с ними. Каждый бандит имеет собственное распределение неизвестное для системы. Система "дёргает" за ручки бандита и получает награду из соответствующего распределения бандита. Задачей системы является максимизации суммы наград или же минимизации потерь.

В данной задаче рекомендательная система использует алгоритм Thompson Sampling [3] для задачи бернуллиевского бандита. Бандитами являются отклики пользователя c_t^i на очередную рекомендацию. Средняя награда равна: $\sigma(\mu_t(a_t^i))$.

В начальный момент времени определены вероятности бернуллиевских случайных величин c_t^i для элементов M равные $\pi_0(\theta_1), \dots, \pi_0(\theta_m)$. Задаётся априорное распределение для θ_i равное бэта-распределению $Beta(1, 1) = U[0, 1]$. Апостериорное распределение для элемента $a^i \in M$ описывается бэта-распределением: $Beta(\alpha_t^i, \beta_t^i)$. Параметры после очередной рекомендации обновляются по закону :

$$\alpha_{t+1} = \alpha_t + c_t, \beta_{t+1} = \beta_t + 1 - c_t. \quad (3)$$

2.3 Учёт аддитивного шума в поведении пользователя

Шум откликов описывается следующим образом:

$$c_t^i \sim Bern(\sigma(\mu_t(a_t^i) + q_t^i)), \quad (4)$$

$$q_t^i \sim U[-w, w]. \quad (5)$$

Наличие q_t^i позволяет описать несмещённый аддитивный шум, то есть отклонение от истинного интереса пользователь.

2.4 Накопительный шум в поведении пользователя

В этом случае шум откликов описывается следующим образом:

$$c_t^i \sim Bern(\sigma(\mu_t(a_t^i))).$$

Но обновление интереса для элементов очередной рекомендации происходит по правилу:

$$\begin{aligned} \mu_{t+1} - \mu_t &= \begin{cases} \delta_t c_t - \delta_t (1 - c_t) \cdot (1 + b \cdot s_t), & \text{если } \mu_t > 0, \\ \delta_t c_t \cdot (1 + b \cdot l_t) - \delta_t (1 - c_t), & \text{если } \mu_t < 0, \end{cases} \\ \delta_t &\sim U[0, 0.01], \\ s_t &= \{0 \leq k \leq t \mid c_t = 1, \dots, c_{t-k} = 1, c_{t-k-1} = 0\}, \\ l_t &= \{0 \leq k \leq t \mid c_t = 0, \dots, c_{t-k} = 0, c_{t-k-1} = 1\}. \end{aligned}$$

Если учесть, что c_t из распределения Бернулли, то:

$$\begin{aligned} s_t &= \text{Geom}(1 - \sigma(\mu_t(a_t))), \\ l_t &= \text{Geom}(\sigma(\mu_t(a_t))). \end{aligned}$$

2.5 Теоретические результаты

Назовём *режимом работы TS с фиксированными лидерами* поведение алгоритма, в котором TS не меняются элементы рекомендаций.

Утверждение 1. Пусть TS работает в режиме с фиксированными лидерами начиная с какого-то момента времени τ и используется аддитивная модель шума (4).

Тогда при $w \geq 0$: $\lim_{t \rightarrow \infty} \|\mu_t - \mu_0\|_2 = \infty$.

Из этого следует, что учёт аддитивного шума для модели, использующей алгоритм TS, не позволяет предотвратить возникновение петли в рекомендательной системе.

3 Вычислительный эксперимент

Целью эксперимента является подтверждение существования петель скрытой обратной связи для произвольных параметров шума w . Важной частью эксперимента является сравнения поведений рекомендательной системы с шумом в ответах пользователя и без.

3.1 Описание данных и работы модели

Перед началом эксперимента фиксируются следующие параметры: T — число итераций рекомендательной системы, $|M|$ — число рассматриваемых объектов для рекомендации, l — число элементов в одной выдаче. Также фиксируются параметры шума w, u . Далее случайным образом сэмпятся начальные значения интереса $\{\mu_0^i\}_{i=1}^{|M|}$. Параметры априорного распределения $\{\alpha_0^i, \beta_0^i\}_{i=1}^{|M|}$ также сэмпятся случайно.

Генерация элементов очередной рекомендации производится на основе текущего апостериорного распределения. Выбираются элементы с наибольшим значением. Получение отклика от пользователя заключается в генерации случайных величин на основе рекомендации. Обновление параметров апостериорного распределения происходит по правилу (3). Интерес обновляется согласно (2).

Также рассматривается вариант эксперимента, когда используется случайная модель генерации рекомендации. В этом случае l элементов для очередной рекомендации выбираются случайным образом.

В каждый момент выдачи t фиксируются значения интереса μ_t^i , сумма откликов c_t^i и параметры апостериорного распределения. По полученным данным строятся графики для определения наличия петель (1) скрытой обратной связи (см. рис. 1).

3.2 Псевдокод проведения эксперимента

Вход: M, l, T, w

`BanditLoopExperiment.prepare()`

для t от 1 до T

$r_t \leftarrow \text{TSBandit.predict}()$

$c_t \leftarrow \text{make_response_noise}(r_t, w)$

`TSBandit.update(c_t)`

`Model.interest_update(c_t)`

`save_iter(t, c_t, μ_t)`

4 Результаты

На рис. 1 изображена зависимость нормы разности начального значения интереса и интереса в момент времени $0 \leq t \leq 5000$, используется логарифмический масштаб. На рис. 2 изображена сумма наград c_t . Рассматриваются различные параметры аддитивного шума w .

Видно, что наблюдается эффект неограниченного роста интереса даже для больших значений шума. Причём величина шума никак не ограничивает рост интереса, а лишь замедляет его, что согласуется с определением петли и утверждением 1.

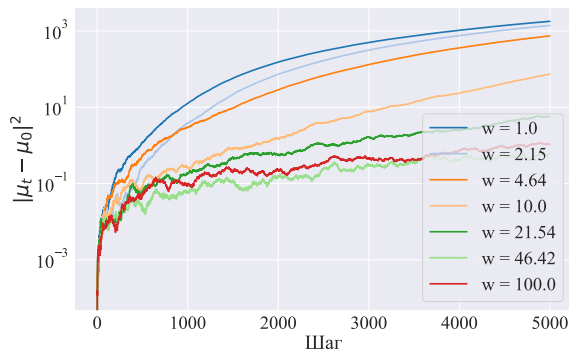


Рис. 1 Логарифм нормы интереса на очередном шаге рекомендации.

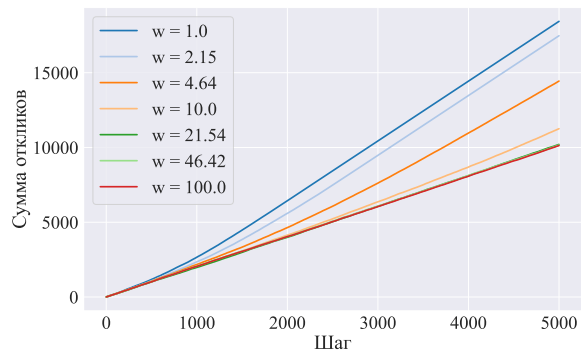


Рис. 2 Суммы наград на очередном шаге рекомендации.

На рис. 3 изображён разброс значений нормы интереса для 30 запусков эксперимента. На рис. 5, 6 сравниваются рекомендательные системы с различными алгоритмами рекомендации: Thompson Sampling, Random, Epsilon Greedy, Optimal.

В случае аддитивного шума для всех моделей тоже наблюдается образование петли (см. рис. 6). Только для случайной модели замечены существенные различия, но тренд неограниченного роста интереса всё равно присутствует.

Для накопительного шума для всех моделей, кроме оптимальной, тоже наблюдается образование петли (см. рис. 5).

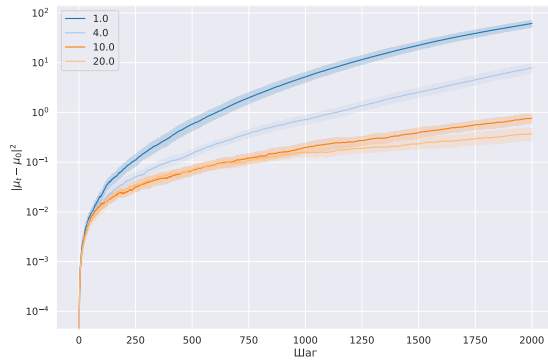


Рис. 3 Разброс логарифма нормы интереса от шага.

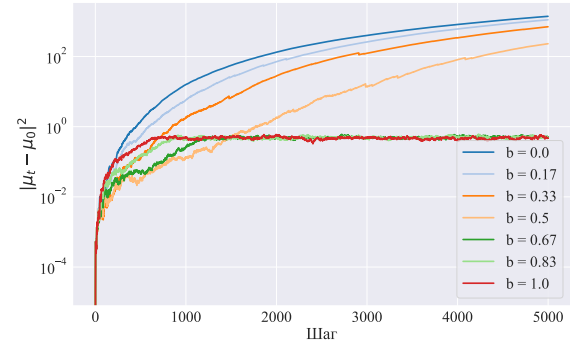


Рис. 4 Зависимость нормы интереса от шага при различных параметрах накопительного шума

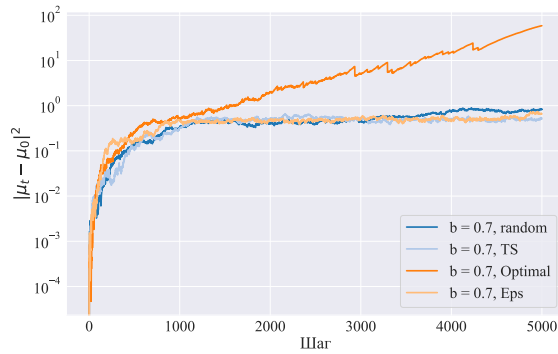


Рис. 5 Сравнение различных алгоритмов рекомендации для накопительной модели шума

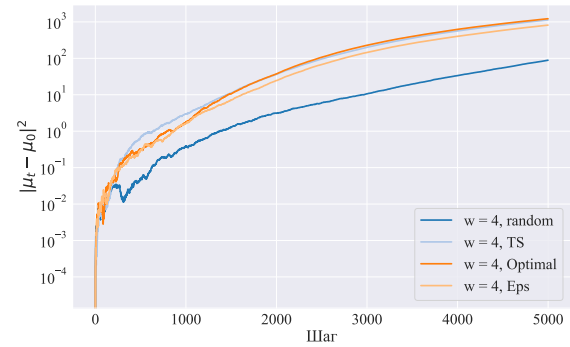


Рис. 6 Сравнение различных алгоритмов рекомендации для аддитивной модели шума

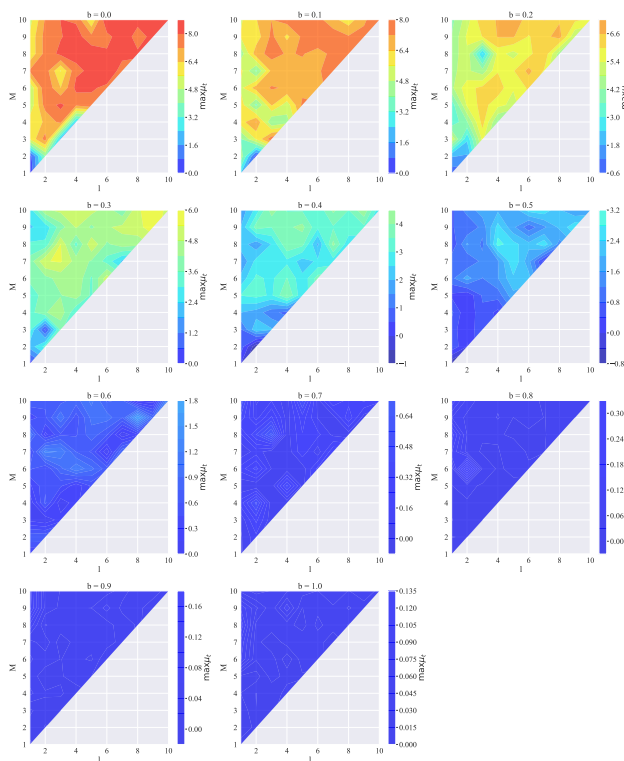


Рис. 7 Распределение максимумов значения интереса на шаге $T = 2000$ для различных параметров модели и шума

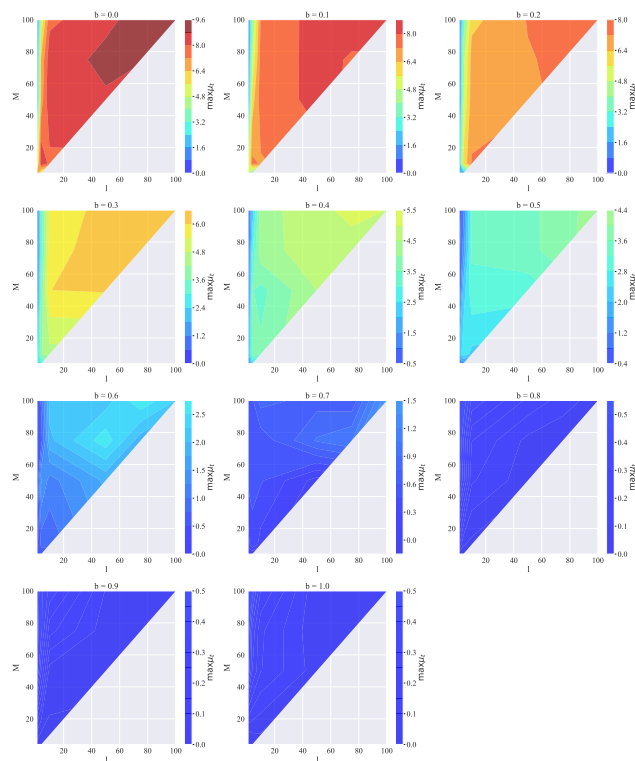


Рис. 8 Распределение максимумов значения интереса на шаге $T = 2000$ для больших параметров модели

139 5 Заключение

140 Поставлена задача существования петель скрытой обратной связи при наличии ад-
 141 дитивного шума в ответах пользователя и независимого обновления интереса. Также был
 142 сформулирован накопительный шум, где присутствует скоррелированность при обновле-
 143 нии интереса пользователя. Для аддитивной модели шума было получено, что при любых
 144 параметрах возникают петли. Это также подтверждается в эксперименте. В случае на-
 145 копительного шума на эксперименте было получено наличие порога, при котором петля
 146 отсутствует.

147 В дальнейшем требуется проверить гипотезу о возникновении петель при любом несме-
 148 щённом аддитивном шума. Требуется получить теоретические обоснования отсутствия
 149 петли при накопительном шума. Также стоит рассмотреть другие модели шума.

150 Литература

- 151 [1] Ray Jiang, Silvia Chiappa, Tor Lattimore, András György, Pushmeet Kohli Degenerate Feedback
 152 Loops in Recommender Systems// CoRR, 2019, Vol. abs/1902.10730, URL: <https://arxiv.org/abs/1902.10730>.
- 154 [2] Khritankov, Anton Hidden Feedback Loops in Machine Learning Systems: A simulation Model
 155 and Preliminary Results// Springer, 2021, P. 54–65.
- 156 [3] Daniel Russo, Benjamin Van Roy, Abbas Kazerouni, Ian Osband A Tutorial on Thompson
 157 Sampling// CoRR, 2017, Vol. abs/1707.02038, URL: <https://arxiv.org/abs/1707.02038>.

- [4] *Shipra Agrawal, Navin Goyal* Analysis of Thompson Sampling for the multi-armed// CoRR, 2011, Vol. abs/1111.1797, URL: <https://arxiv.org/abs/1111.1797>.
- [5] *Giuseppe Burtini, Jason L. Loepky, Ramon Lawrence* Improving Online Marketing Experiments with Drifting Multi-armed Bandits// SciTePress, 2018, P. 630–636.
- [6] *David Krueger and Tegan Maharaj and Jan Leike* Hidden Incentives for Auto-Induced Distributional Shift// CoRR, 2020, Vol. abs/2009.09153.
- [7] *Wilbert Samuel Rossi, Jan Willem Polderman, Paolo Frasca* The closed loop between opinion formation and personalised recommendations// CoRR, 2018, Vol. abs/1809.04644.
- [8] *Pedreschi, D. and Miliou, I. and European Parliament. Directorate-General for Internal Policies of the Union* Artificial Intelligence (AI): new developments and innovations applied to e-commerce// European Parliament, 2020.
- [9] *Dominic DiFranzo, Kristine Gloria-Garcia* Filter bubbles and fake news// XRDS, 2017.
- [10] *Пилькевич Антон, Хританков Антон* Условие существования петель скрытой обратной связи в рекомендательных системах с учётом шума// URL: github.com/Intelligent-Systems-Phystech/2021-Project-74.

Поступила в редакцию

6 Приложение

Утверждение 2. Пусть TS работает в особом режиме начиная с какого-то момента времени τ . Тогда при $w \geq 0$: $\lim_{t \rightarrow \infty} \|\mu_t - \mu_0\|_2 = \infty$.

Доказательство. Так как алгоритм работает в особом режиме, то при $t \geq \tau$ известно какие объекты он будет рекомендовать. Для случая нормы интересов:

$$\|\mu_t - \mu_0\|_2^2 = \sum_{i=1}^M (\mu_t^i - \mu_0^i)^2,$$

с ростом t основной вклад будут давать только $l < M$ объектов попавших в рекомендацию. Причём эти объекты известны и не меняются для очередного шага.

Рассмотрим изменение интереса для произвольного $a \in M$. Обновление интереса происходит согласно: $\mu_t - \mu_{t-1} = \delta_t c_t - \delta(1 - c_t)$. Случайные величины δ_t, c_t независимы, поэтому:

$$\mathbb{E} \delta_t c_t = \mathbb{E} \delta_t \mathbb{E} c_t.$$

Для удобства будем считать, что у нас $c_t \sim \text{Bern}_{\pm}(\sigma(\mu_t(a_t) + q_t))$ Тогда:

$$\mathbb{E}(c_t | q_t = y) = 2\sigma(\mathbb{E}\mu_{t-1} + y) - 1,$$

В случае $\mathbb{E}(\mathbb{E}(c_t | q_t)) > 0$ петля будет возникать, так как рост интереса в среднем положителен.

Далее для простоты считается, что $\sigma(x) \approx \left(\frac{x}{4} + \frac{1}{2}\right) \cdot I[-2, 2] + I[2, \infty]$ и $p = 1$. Задача в этом случае записывается так:

$$\mathbb{E}(c_t | q_t = y) \approx 2 \left(\frac{\mathbb{E}\mu_{t-1} + y}{4} + \frac{1}{2} \right) - 1.$$

185 Теперь петля возникает при условии: $E\sigma(x) > \frac{1}{2}$.

Тогда остаётся посчитать:

$$\begin{aligned} E\sigma(\mu_t) &\approx \int_{-\infty}^{\infty} \left(\frac{E\mu_t + y}{4} + \frac{1}{2} \right) I\{-2 < E\mu_t + y < 2\} f(y) dy \\ &\quad + \int_{-\infty}^{\infty} I\{2 < E\mu_t + y\} f(y) dy = \\ &\quad \int_{-2}^2 \left(\frac{z}{4} + \frac{1}{2} \right) f_s(z) dz + \int_2^{\infty} f_s(z) dz, \end{aligned}$$

186 где $f_s(z)$ плотность $U[E\mu_t - w, E\mu_t + w]$. Таким образом у нас возникает 6 случаев.

1. $E\mu_t + w < -2$. Тогда, очевидно:

$$E\sigma(\mu_t) = 0 \rightarrow E(E(c_t|q_t)) = -1.$$

187 В этом случае интерес бесконечно убывает. Так как рассматривается норма интересов,
188 то всё равно $(\mu_t - \mu_0)^2 \rightarrow \infty$ при $t \rightarrow \infty$.

2. $E\mu_t - w < -2 < E\mu_t + w < 2$. Тогда:

$$\begin{aligned} E\sigma(\mu_t) &= \frac{1}{16w} (y+2)^2 \Big|_{-2}^{E\mu_t+w} = \frac{1}{16w} (E\mu_t + w + 2)^2 < \frac{1}{2}, \\ &\quad (E\mu_t + w + 2)^2 < 8w, \\ &\quad \begin{cases} E\mu_t < -w - 2 + \sqrt{8w}, \\ E\mu_t > -w - 2 - \sqrt{8w}, \end{cases} \rightarrow \text{рост.} \end{aligned}$$

189 В случае $E\sigma(\mu_t) > \frac{1}{2}$ система будет несовместна.

3. $E\mu_t - w < -2, E\mu_t + w > 2$.

$$\begin{aligned} E\sigma(\mu_t) &= \frac{1}{16w} (y+2)^2 \Big|_{-2}^2 + \frac{1}{2w} (E\mu_t + w - 2) = \\ &\quad \frac{1}{w} + \frac{E\mu_t + w}{2w} - \frac{1}{w} = \frac{E\mu_t + w}{2w} > \frac{1}{2} \Rightarrow \\ &\quad E\mu_t > 0, w > 2 \rightarrow \text{рост.} \end{aligned}$$

4. $E\mu_t - w > -2, E\mu_t + w < 2$. Тогда:

$$\begin{aligned} E\sigma(\mu_t) &= \frac{1}{16w} (y+2)^2 \Big|_{E\mu_t-w}^{E\mu_t+w} > \frac{1}{2}, \\ &\quad (E\mu_t + w + 2)^2 - (E\mu_t - w + 2)^2 > 8w, \\ &\quad (2E\mu_t + 4) \cdot 2w > 8w, \\ &\quad E\mu_t > 0 \rightarrow \text{рост.} \end{aligned}$$

5. $E\mu_t - w > -2, E\mu_t + w > 2$. Тогда:

$$\begin{aligned}
 E\sigma(\mu_t) &= \frac{1}{16w}(y+2)^2 \Big|_{E\mu_t-w}^2 + \frac{1}{2w} \Big|_2^{E\mu_t+w} = \\
 &= \frac{1}{16w} (16 - (E\mu_t - w + 2)^2) + \frac{1}{2w} (E\mu_t + w - 2) = \\
 &= \frac{1}{w} - \frac{(E\mu_t - w + 2)^2}{16w} + \frac{E\mu_t + w}{2w} - \frac{1}{w} = \\
 &= -\frac{1}{16w} (E^2\mu_t - 2(w-2)E\mu_t + (w-2)^2) + \frac{E\mu_t + w}{2w} > \frac{1}{2} \Rightarrow \\
 &E^2\mu_t - 2(w-2)E\mu_t + (w-2)^2 - 8(E\mu_t + w) + 8w < 0, \\
 &E^2\mu_t - 2(w+2)E\mu_t + (w-2)^2 < 0, \\
 &(E\mu_t - (w+2))^2 - (w+2)^2 + (w-2)^2 < 0, \\
 &(E\mu_t - (w+2))^2 - 8w < 0, \\
 &\begin{cases} E\mu_t < w+2 + \sqrt{8w}, \\ E\mu_t > w+2 - \sqrt{8w}, \end{cases} \rightarrow \text{рост.}
 \end{aligned}$$

6. $E\mu_t - w > 2$. Тогда:

$$E\sigma(\mu_t) = 1 > \frac{1}{2}.$$

Во всех случаях при заданных условиях удалось отделить от нуля изменение интереса:

$$E(\mu_t - \mu_{t-1}) = E\delta_t \cdot E(E(c_t|q_t)) > 0.$$

Поэтому существует $m > 0$ такое, что

$$E(\mu_t - \mu_{t-1}) = E\delta_t \cdot E(E(c_t|q_t)) > m > 0.$$

Тогда

$$E^2(\mu_t - \mu_0) > t^2 \cdot m^2 \rightarrow \infty \text{ при } t \rightarrow \infty.$$

Раз одно слагаемое стремится к бесконечности, то:

$$E\|\mu_t - \mu_0\|_2^2 \rightarrow \infty \text{ при } t \rightarrow \infty.$$